

## - PRIMENE IMPULSNIH LASERA u FH

### Osobine laserskog zračenja:

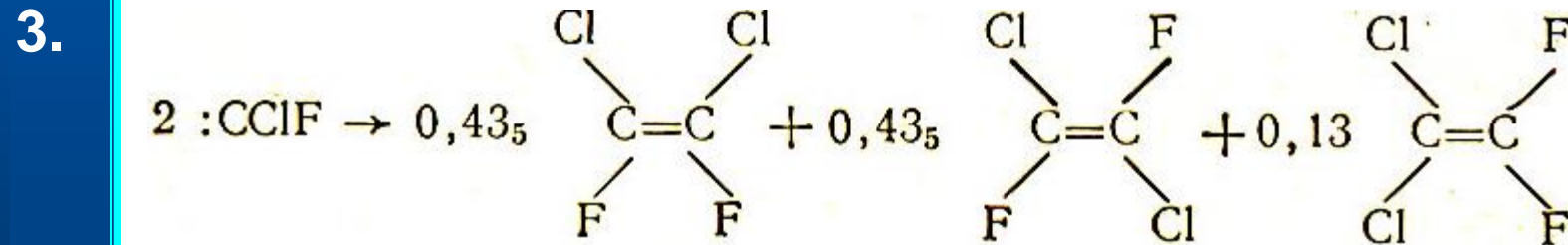
- Intenzivnost
- Monohromatičnost
- Usmerenost
- Koherentnost

$E$ ;  $\Delta\tau_{1/2}$  (ms,  $\mu$ s, ns, ps, fs, as).  
 $P_p$  (kW; MW; GW; TW; Peta-W; Exa-W).

- Las. indukovane i kontrola hem. reakcija
- Preparativna hemija
- Analitička hemija/Spektrohemija
- Dijagnostika hemijskih procesa, itd.
- Specifične primene.

## - Las. indukovane i kontrolirane hem. reakcije

### - V i UV; IR laseri.



### - Agregatno stanje:

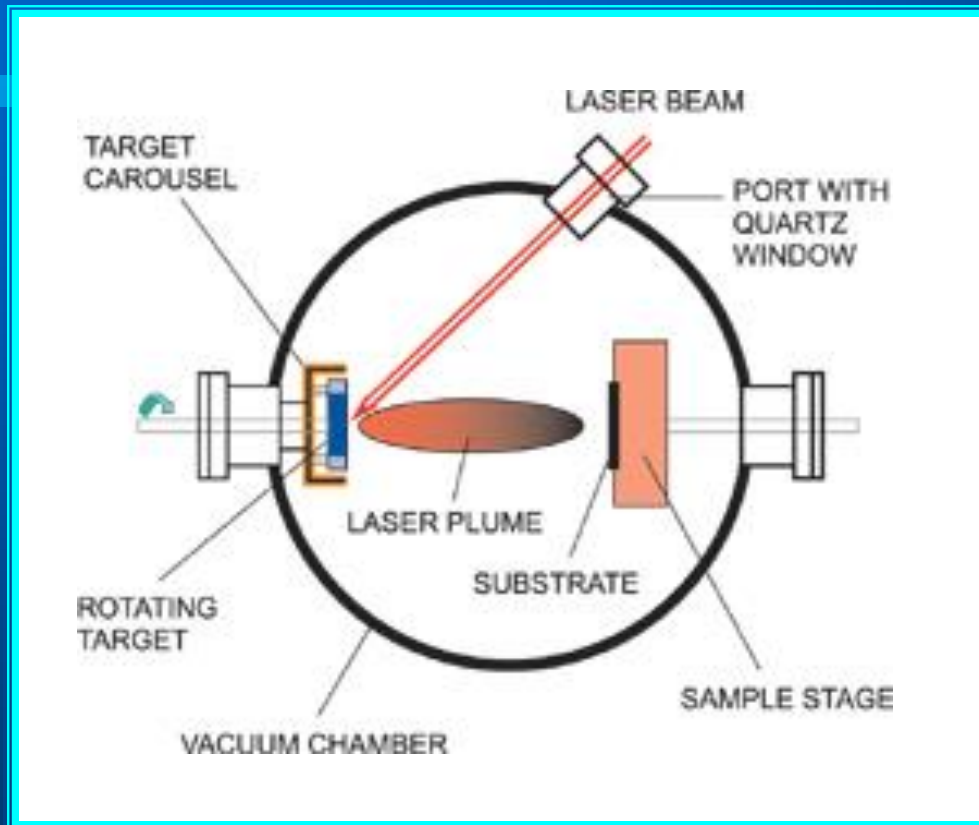
- čvrsti sistem: (matrica, 20K,  $\text{SF}_6$ -Argona)

- tečni sistemi: fotoredukcija  $\text{SmCl}_3$ /metanol (KrF laser;  $\text{Sm}^{+2}/\text{Sm}^{+3}$ )

- heterogeni sistemi: adsorb. molekula; tanki slojevi.

- Preparativna hemija
- Lasersko prečišćavanje materijala (LPM)
- Proizvodnja čvrstih preparata (PP)
- Depozicija materijala laserima (LPD)
- Laserska separacija izotopa (LIS)
  - LPM:
    - a.  $\text{B}_2\text{H}_6$  iz  $\text{SiH}_4$ , (imp.  $\text{CO}_2$  laser);  $[\text{B}_2\text{H}_6] = 5\text{-}10\%$ ; 5 imp.
    - b.  $\text{H}_2\text{S}$  (smeša  $\text{CO}$  i  $\text{H}_2$ ), (ArF);  $\text{H}_2\text{S} \rightarrow \text{H}_2 + \text{S}$ .
  - PP:
    - a.  $\text{SiH}_4, \text{NH}_3$  ( $\text{CO}_2$  laser)  $\rightarrow \text{Si}_3\text{N}_4$

## - LPD metoda/tehnika



Slika 1. Šematski prikaz LPD metode.

**Primena:** depozicija materijala  
(tankih filmova) na substratu.

(D- mikronski i sub-mikronski  
domen; npr. TiN/steel; Si- sub.).

- LIS:  $^{32,34}\text{S}$ ;  $^{10,11}\text{B}$ ;  $^{235,238}\text{U}$ , itd.

## $^{32,33,34,36}\text{S}$

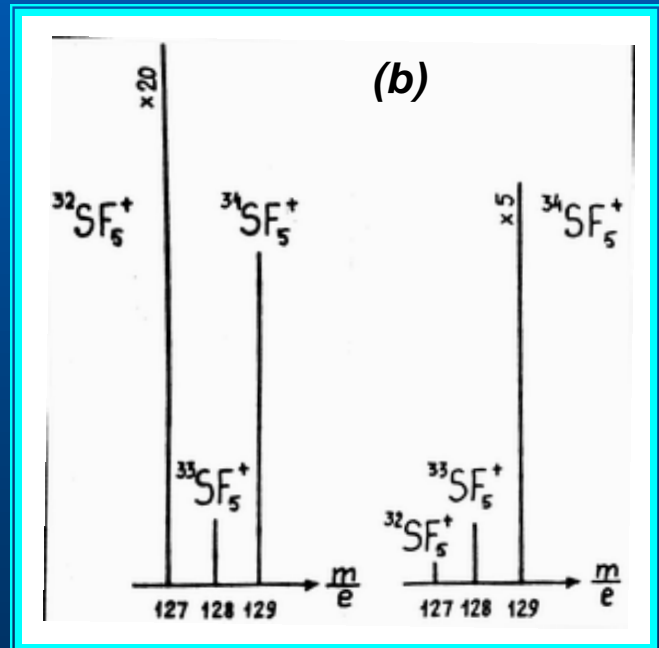
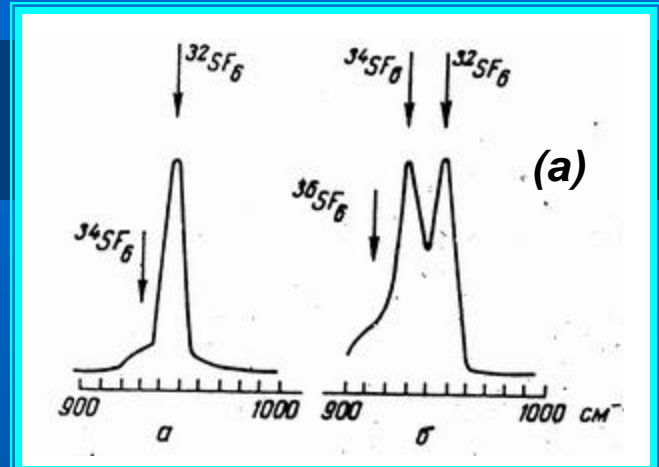
$^{32}\text{S}$ - 95%;  $^{33}\text{S}$ - 0,75%;  $^{34}\text{S}$ - 4,2%;  $^{36}\text{S}$ - 0,017%.

$^{32,34}\text{SF}_6$ , IR spektar,  $\Delta\nu = 17 \text{ cm}^{-1}$ ;

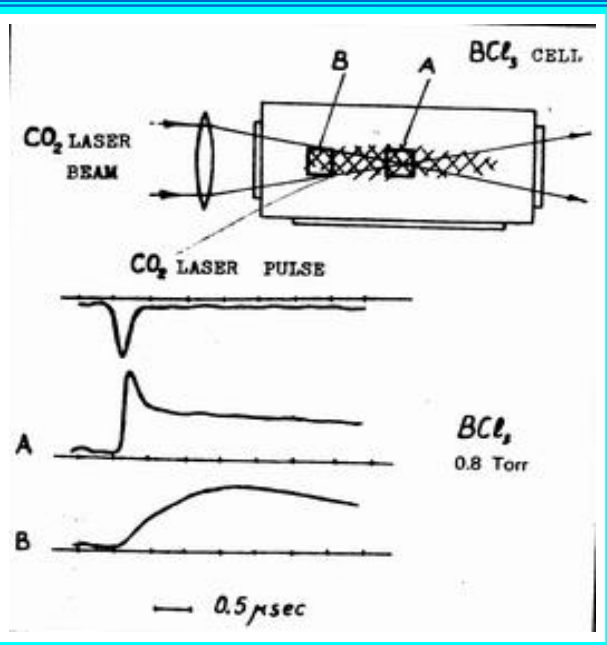


$$\begin{aligned} \beta(34/32) &= [^{34}\text{SF}_6]^* [^{32}\text{SF}_6]_0 / [^{32}\text{SF}_6]^* [^{34}\text{SF}_6]_0 \\ &= 22 \end{aligned}$$

-  $^{34}\text{S}$ , 4,2 → 93%; Selective MPD.



Slika 1\*. IR (a) i maseni spektar (b)  
 $\text{SF}_6$  pre i nakon ozračivanja.



Slika 2. LIS eksperiment  $\text{BCl}_3$  ili  $\text{SF}_6$ .

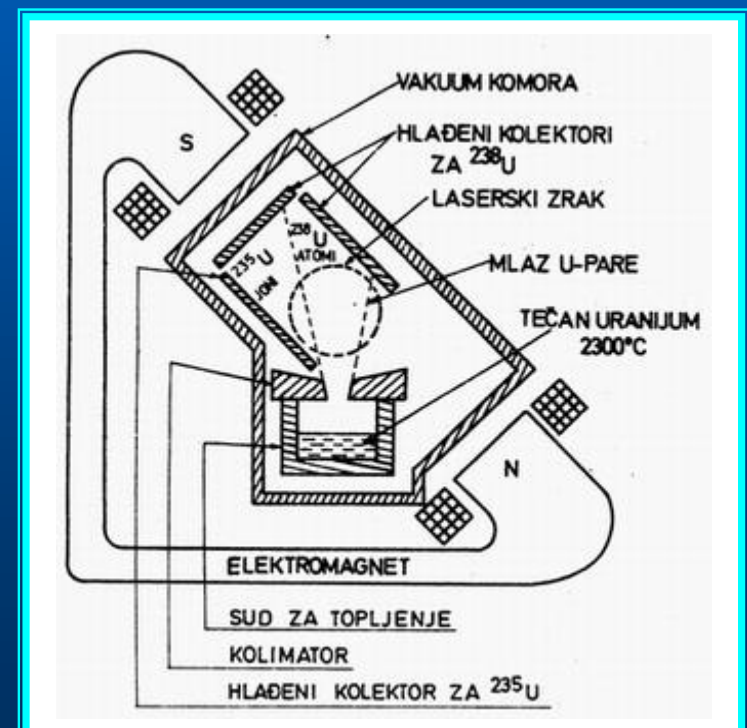
$^{234,235,238}\text{U}$

$^{234}\text{U}$ - 0,006%;  $^{235}\text{U}$ - 0,71%;  $^{238}\text{U}$ - 99,28%

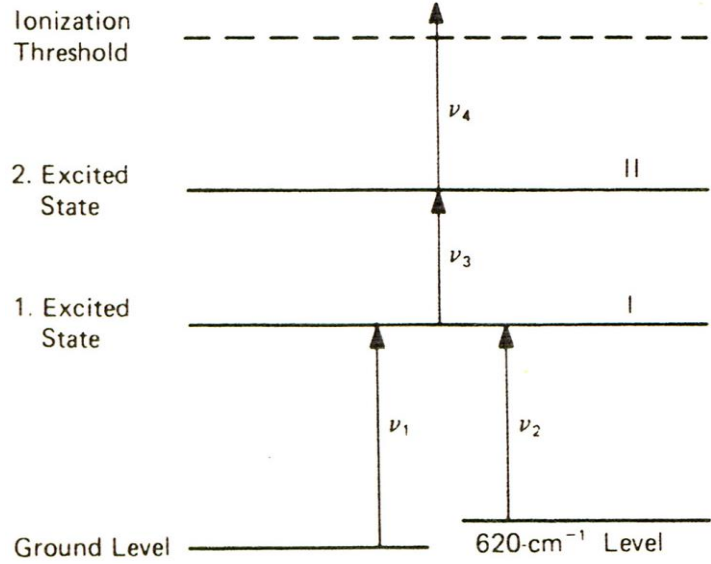
- AVLIS
- MLIS

- Eksp. uslovi:  $p = 0,18 \text{ torr } \text{SF}_6 + 2 \text{ torr H}_2$ ;  
 $I = 1-2 \text{ GW/cm}^2$  (fokus).

- AVLIS metoda.

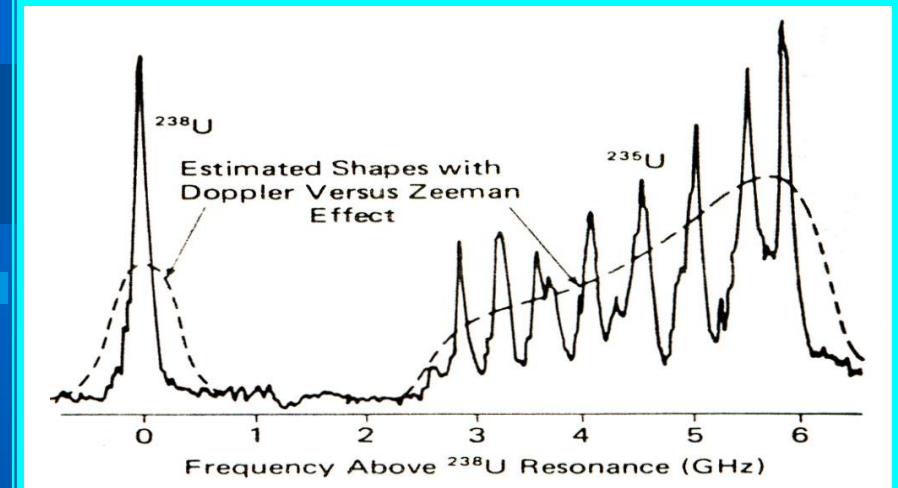


Slika 3. AVLIS eksperiment.

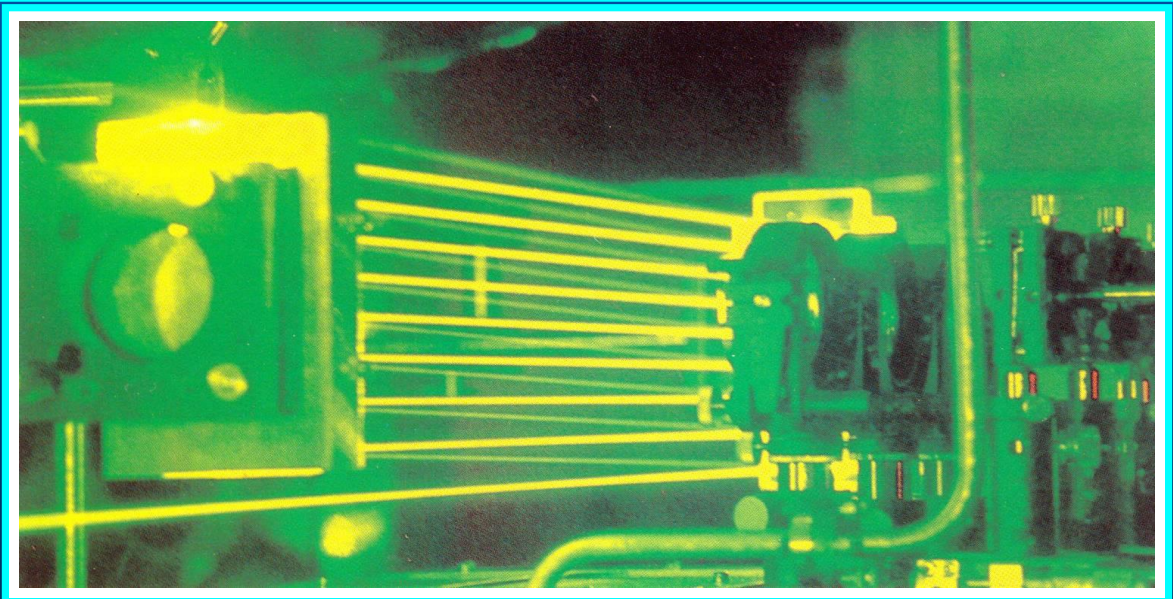


*Slika 4. Relevantni nivoi U-izotopa.*

- Obogaćivanje: 70%.



*Slika 5. Selektivne las. frekvencije.*

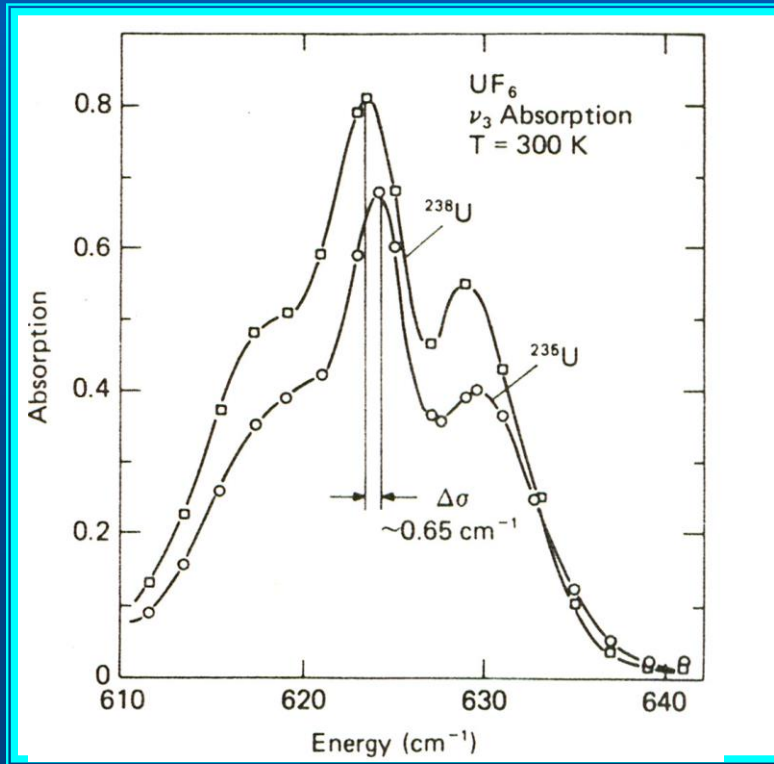


*Slika 6. Foto AVLIS eksperimenta.*

- MLIS metoda.

$^{235,238}\text{UF}_6$ ;  $^{235,238}\text{U}(\text{OCH}_3)_6$ ; itd.

$^{235,238}\text{UF}_6$ , IR spektar,  $\Delta\nu = 0,65 \text{ cm}^{-1}$ , (nhv,  $p\text{-H}_2$ , 16  $\mu\text{m}$ ; TEA CO<sub>2</sub> laser).



$^{235,238}\text{U}(\text{OCH}_3)_6$ ,  
IR spektar,  $\Delta\nu = 0,75 \text{ cm}^{-1}$ , (nhv, TEA CO<sub>2</sub> las.).

Slika 7. IR spektar  $^{235,238}\text{UF}_6$ .

# - Analitička hemija/Spektrohemija

## - HEMIJSKA SPEKTROSKOPIJA SA LASERIMA:

1. Apsorpciona spektroskopija
  - 1.1. Konvencionalna apsorpciona spektroskopija
  - 1.2. Selektivna unutar-rezonatorska spektrosk.
  - 1.3. LIDAR
2. Specijalizovane apsorpcione metode/tehnike
  - 2.1. Ekscitaciona spektroskopija
  - 2.2. Jonizaciona spektroskopija
  - 2.3. Spektroskopija termalnog sočiva
  - 2.4. Fotoakustička spektroskopija
  - 2.5. Optogalvanska spektroskopija
  - 2.6. Laserska magnetna spektroskopija
  - 2.7. Laserska Štarkova spektroskopija
  - 2.8. Druge visoko rezolutivne metode

### **3. Fluorescentna spektroskopija**

**3.1. Laser-indukovana atomska fluorescen.**

**3.2. Laser-indukovana molekulska fluores.**

### **4. Raman-ova spektroskopija**

### **5. Specijalizovane Ramanske metode/tehnike**

**5.1. Rezonantna Ramanova spektroskopija**

**5.2. Stimulisana Ramanova spektroskopija**

**5.3. Inverzna Ramanova spektroskopija**

**5.4. CARS spektroskopija**

**5.5. Površinska “enhanced” Raman. spek.**

**5.6. “Raman optical activity”**

### **6. Multifotonska spektroskopija**

**6.1. “Single-beam two-photon absorption”**

**6.2. “Double-beam two-photon absorption”**

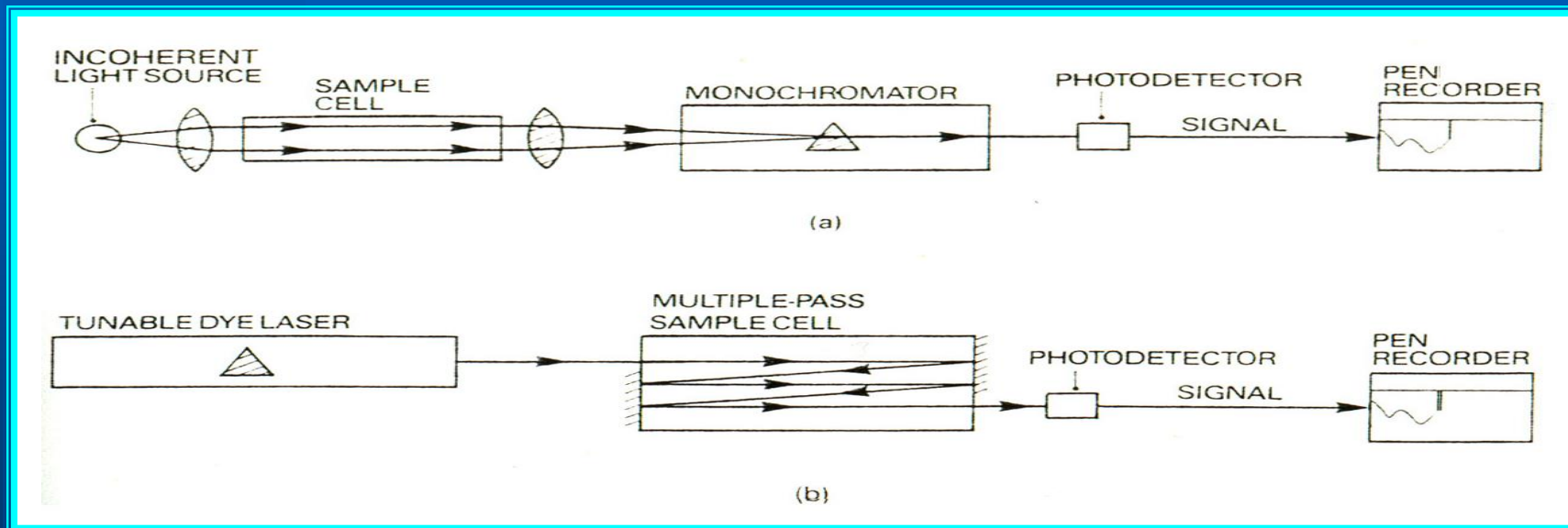
**6.3. Multifotonska apsorpciona spek .**

**6.4. Hiper-Ramanova spektroskopija**

## 7. Laserska masena spektrometrija

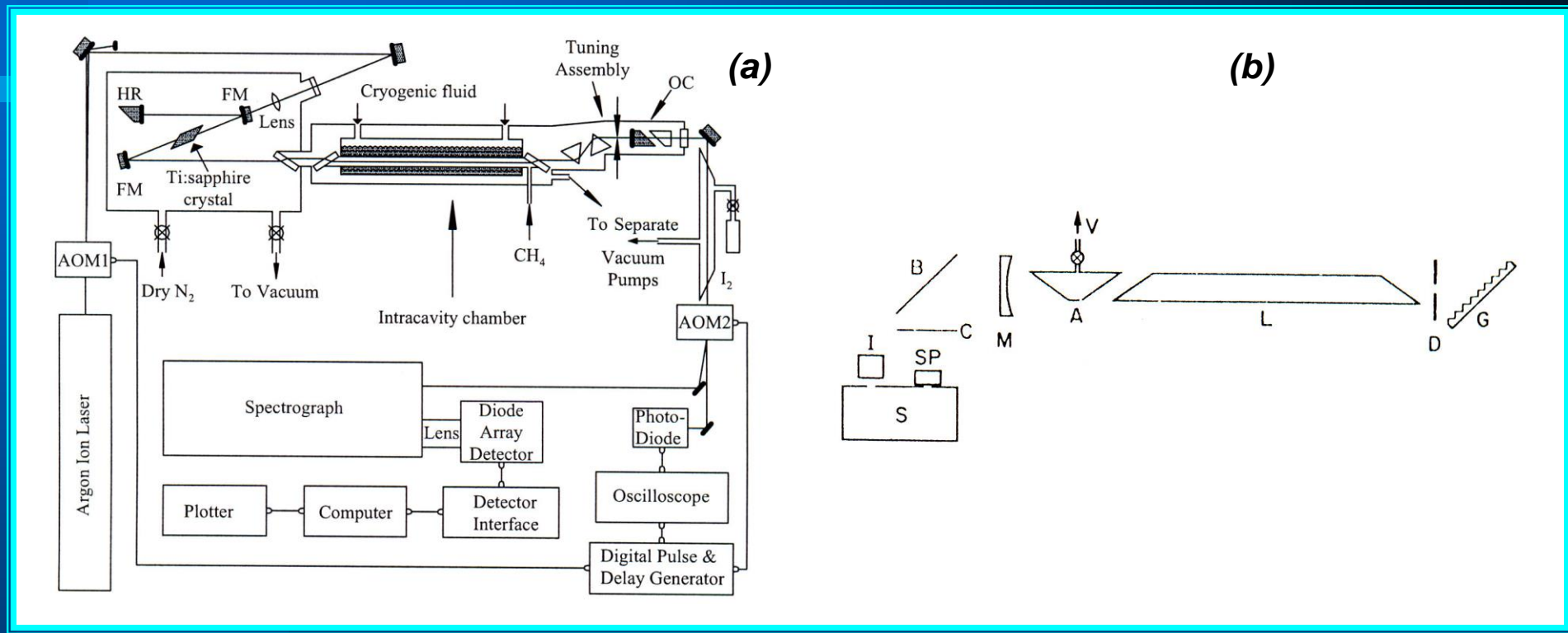
## 8. “Laser-induced breakdown” spektroskopija

### - Konvencionalna apsorpciona spektroskopija



Slika 8. Konvencionalni (a) i laserski (b) spektrometar.

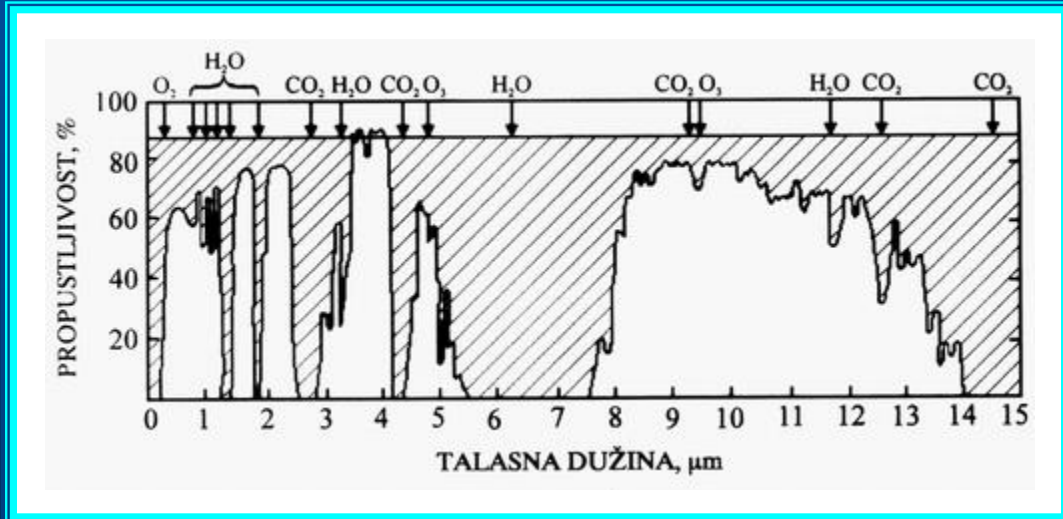
## - Selektivna unutar-rezonatorska spektroskopija



Slika 9. SAUL na bazi čvrstotel. (a) i gasnog (b) lasera.

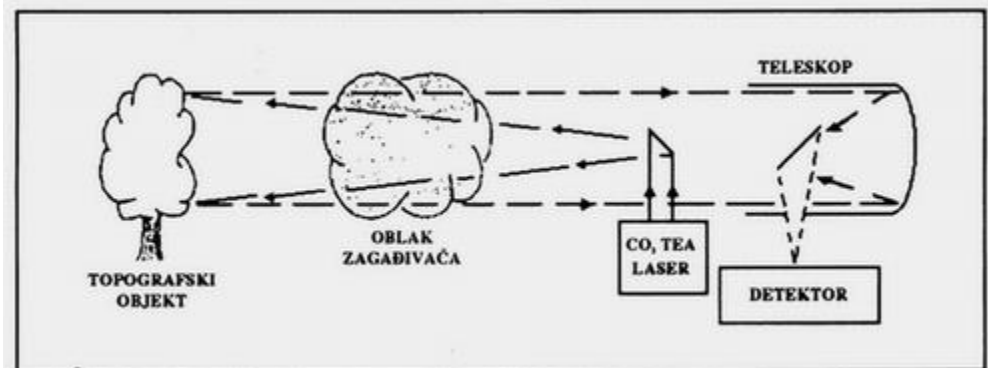
- $n = 1/(1-R)$ , (100%, R). R= 99%, n= 100. L= 10cm, L<sub>eff</sub>= 10m.
- visoka osetljivost: ppm/ppb.

- **LIDAR:**
- **Light Detection And Ranging** (metoda daljinske detekcije; Dye, Nd:YAG, TEA CO<sub>2</sub> laser, itd.).
- **Parametri atmosfere:** (i) Sastav atm., (ii) turbulencija atm., (iii) temperatura atmosfere.
- **Kvantitativna analiza atmosfere:** TEA CO<sub>2</sub> laser, (C<sub>2</sub>H<sub>4</sub>, O<sub>3</sub>, NH<sub>3</sub>, itd.). (c-c; c-o; c-f; Si-f; S-f; P-O; W-O; S-H; itd.).



Osetljivost metode:  
reda ppm do ppb.

Slika 10. Propustljivost atmosfere.



*Slika 11. Tipičan LIDAR sistem (topograf. rasejanje).*

- Metoda DAZ:

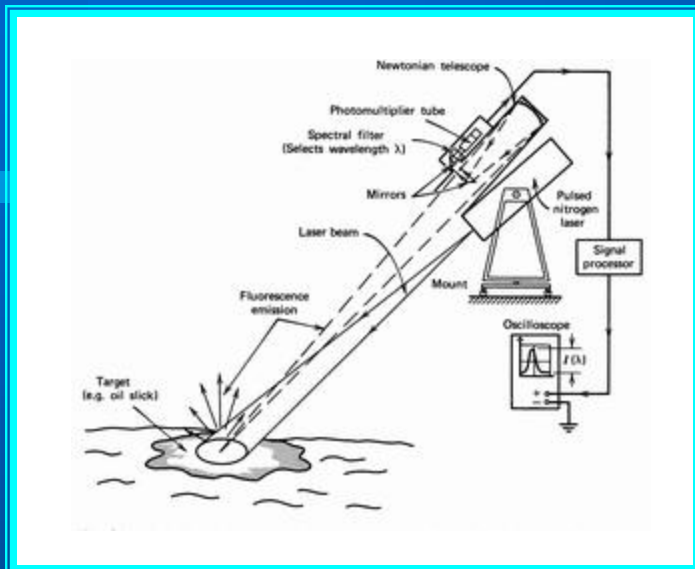
$$p = \frac{1}{2L} (\alpha_R - \alpha_N) \ln \left( \frac{I_N}{I_R} \right).$$

ppm/ppb.

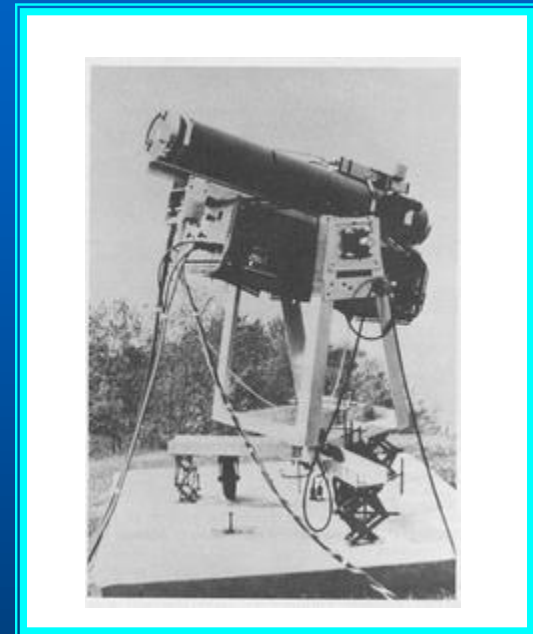


*Slika 12. Foto LIDAR-a.*

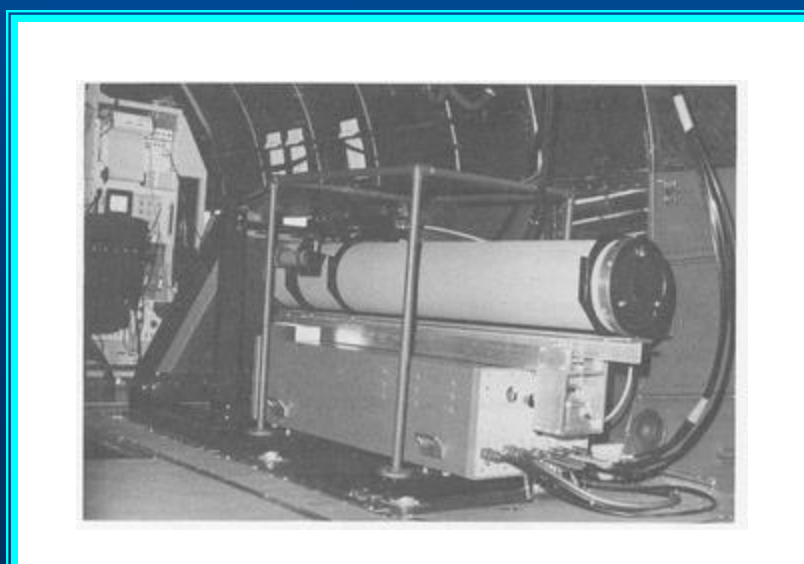
## - “Laserski-indukovana fluorescentna” metoda



*Slika 13. Šemats. prikaz flurosenzora.*

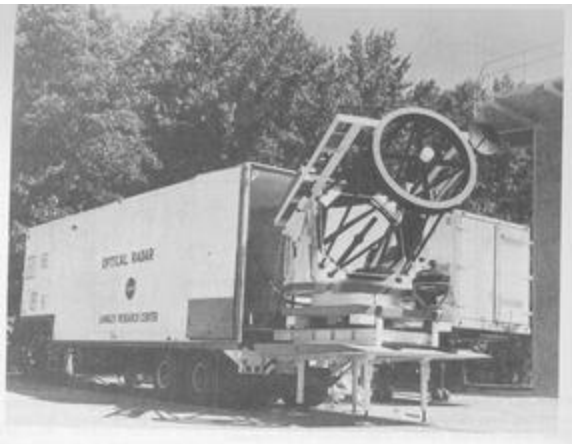


*Slika 14. Foto FS.*



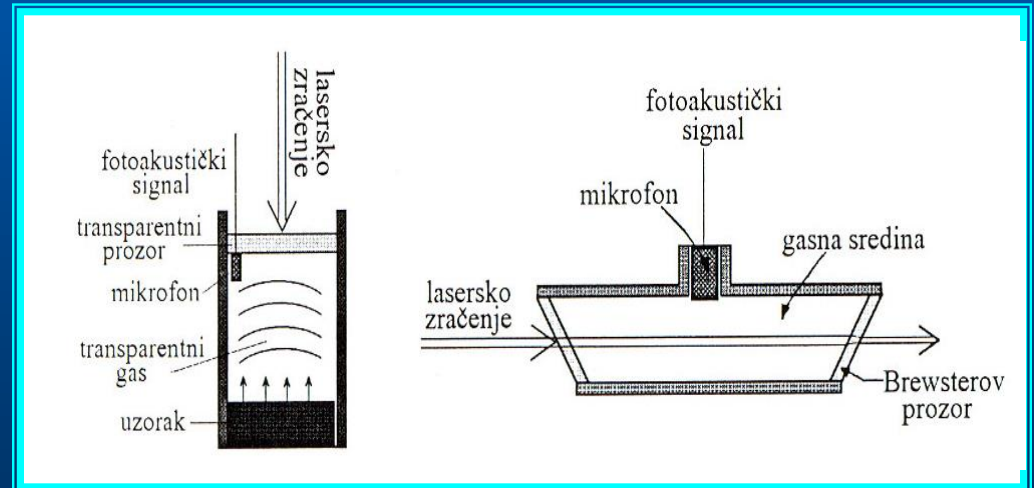
*Slika 15. Foto FS.*

## - Metoda- Ramanovog rasejanja

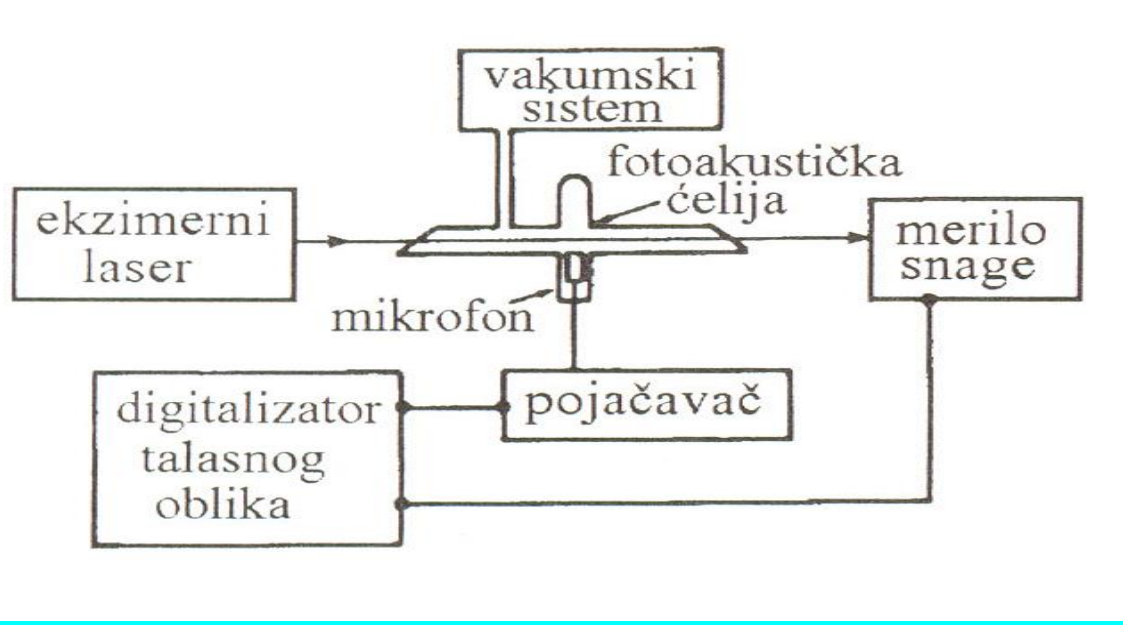


**Slika 16. Foto- Sistem sa Ram. rasejanjem.**

## - Fotoakustička spektroskopija (apsorpciona spektroskopija)



**Slika 17. Princip rada FAS.**



*Slika 18. Laserski FA spektrometar.*

- Primena:

- Proučavanje čvrste, tečne, gasovite faze.

(mravlja kiselina- eksc. laser; 30 ppmV).

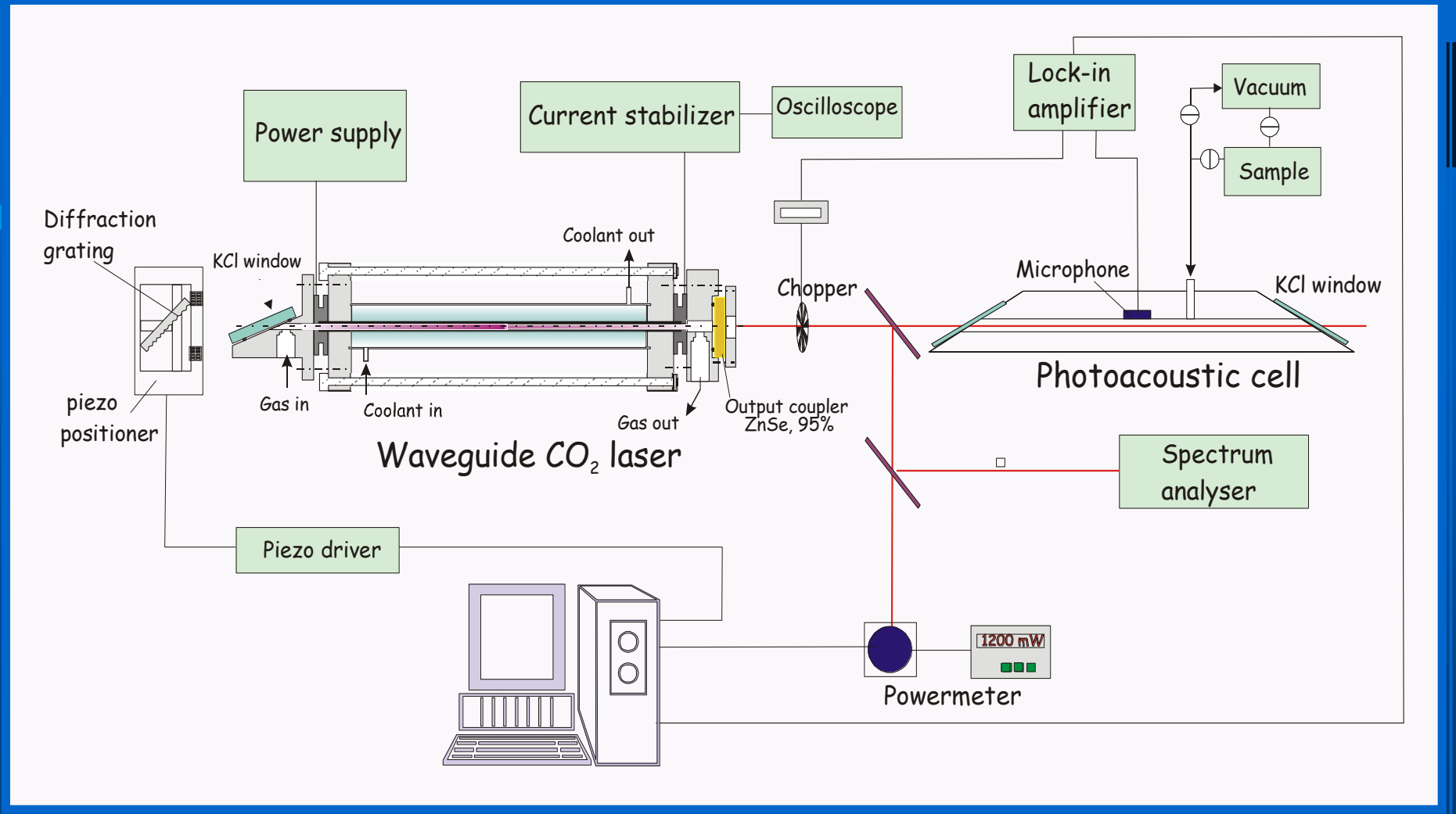


Fig. 19. PA spektrometer baziran na  $\text{CO}_2$  laseru.

## - Laserski-indukovana molekulska fluorescencija (LIF)

TEA CO<sub>2</sub> las.; MPD C<sub>2</sub>H<sub>3</sub>CN “propen-nitrile”.

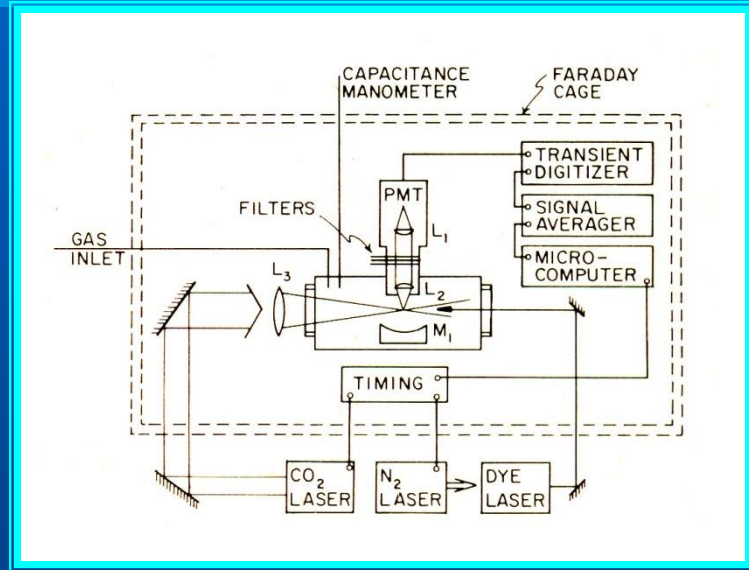


Fig. 20. LIF metoda za monit. CN, C<sub>2</sub> vrste.

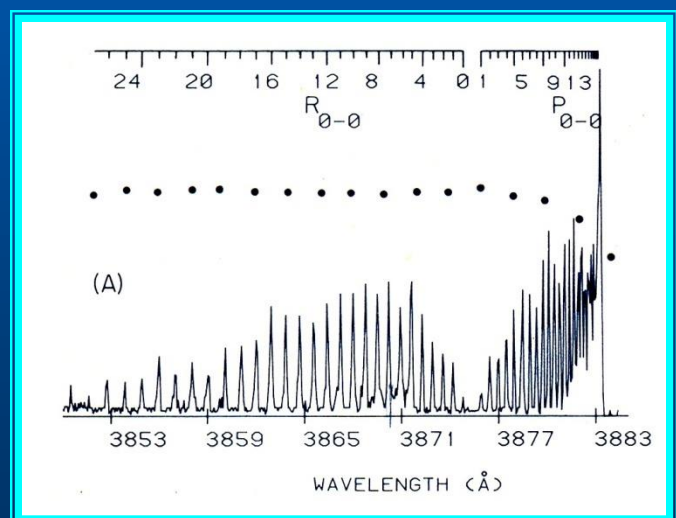


Fig. 21. LIF spektar CN vrste.

## - “Laser-induced breakdown” spektroskopija (LIBS)

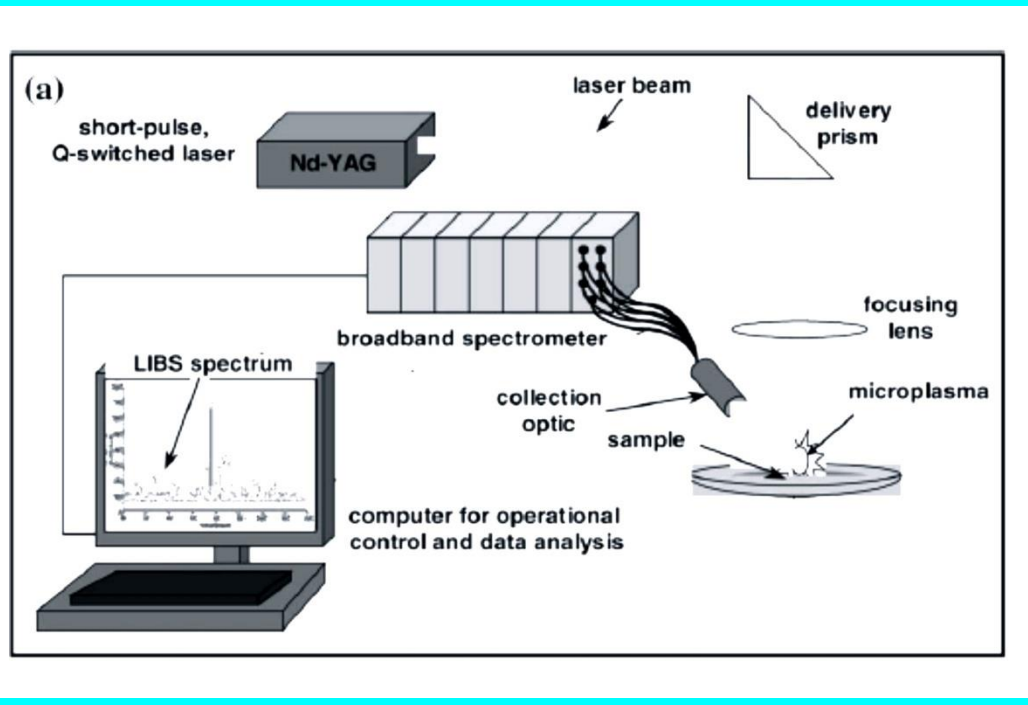
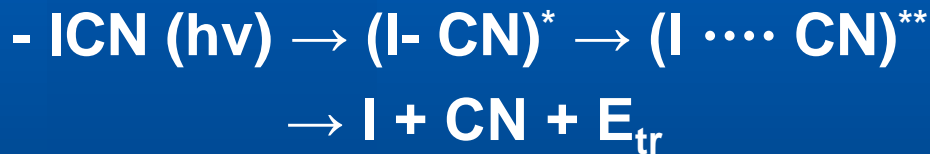


Fig. 22. Šematski prikaz LIBS.

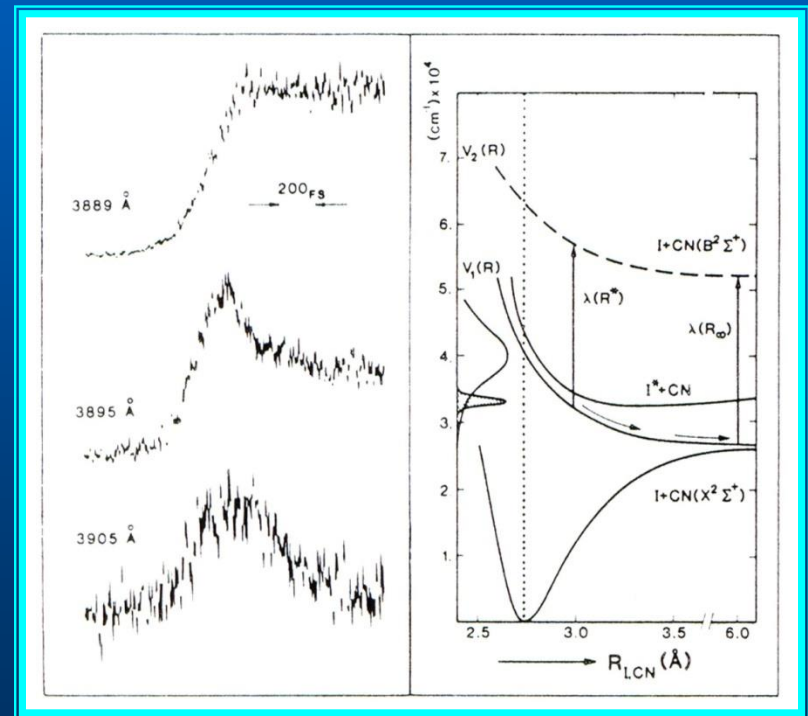
*- Kvalitativna i kvantitativna analiza elemenata.*

## - Dijagnostika hemijskih procesa:

- fs- dijagnostika “transition states” u hemijskim reakcijama



- Zavisnost ( $t, \lambda$ ).



Slika 23. Dinamika reakcije dijagnos. fs- laserom.

- dodatne **Relevantne primene impulsnih lasera:**

---

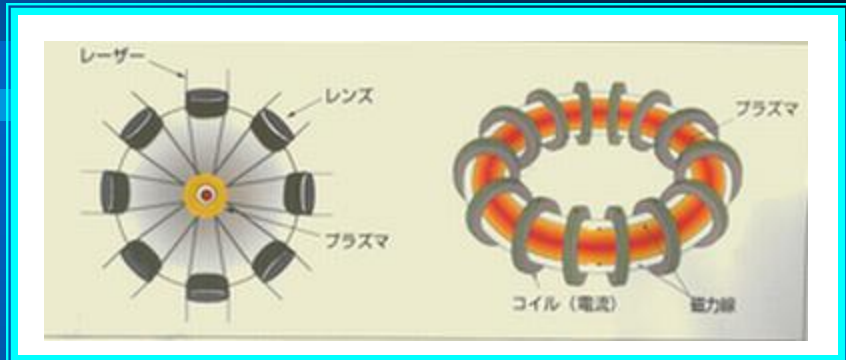
- **Fuzioni eksperiment**
- **Ubrzanje čestica**
- **Modifikacija materijala**

## - Fuzioni eksperiment:

-  $D + T \rightarrow He + n$ ,  $\Delta E = 17,6 \text{ MeV}$



*Slika 25. Izgled mete.*



*Slika 24. Inerciona i magnetna konfinirana fuzija.*

- Laserske energije:

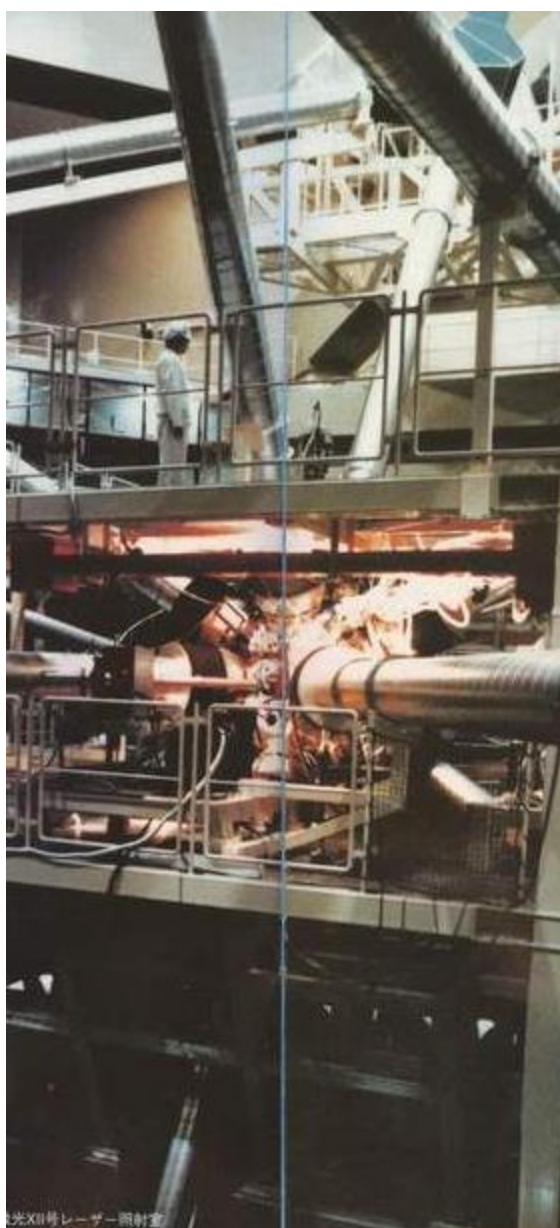
**25 KJ (1ns, 1064 nm)**  
**15 KJ (1ns, 532 nm)**  
**12 KJ (1ns, 350 nm)**

- Imp. snaga:

**25 TW (1 ns, 1064 nm).**



(a)

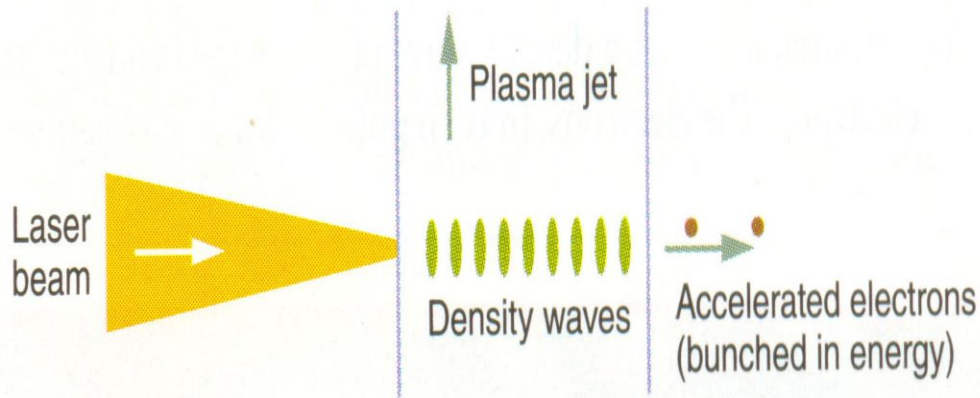


(b)

Slika 26. Postrojenje za fuzioni eksperiment. Laserski sistem (a) i interakc. komora (b).

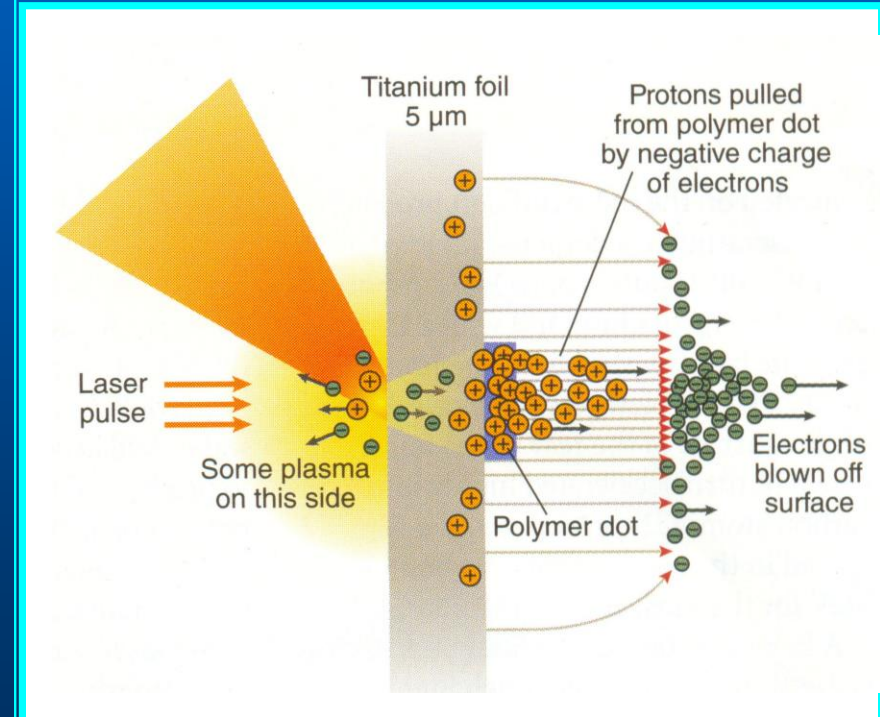
## - Ubrzanje čestica:

-  $I \geq 10^{19} \text{ W/cm}^2$ , fs-laser (80 fs, 10 TW).



*Slika 27. Lasersko ubrzanje elektrona.*

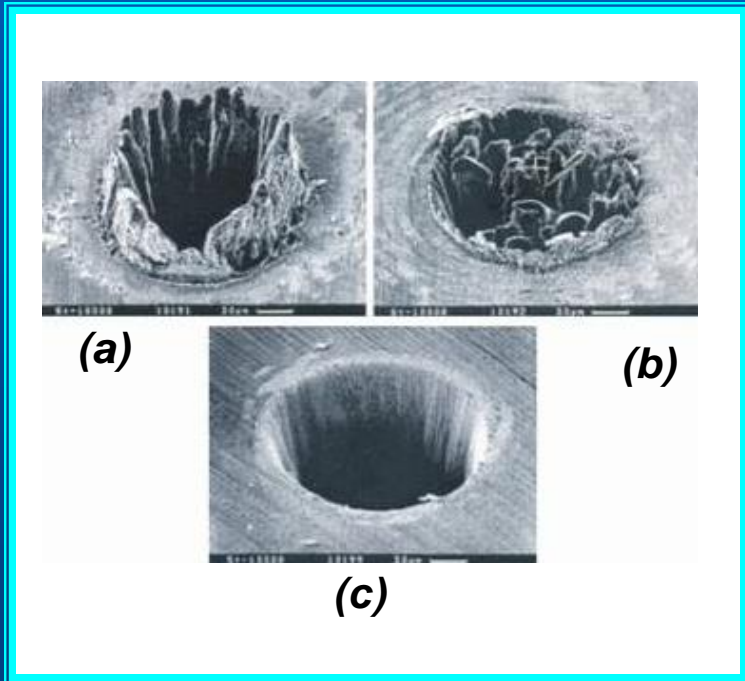
$E_e$  - 100 MeV,  
 $E_p$  - 1,2 (173) MeV



*Slika 28. Ubrzjanje protona.*

# - Površinska modifikacija materijala:

- Mikro-elektronici
- Senzorskoj tehnologiji
- Radioak. dekonatam., itd.



*Slika 29. Modifikacija materijala ns- (a), ps- (b) i fs- (c) laserom.*



*Slika 30. Površinska dekontaminacija  $^{137}\text{Cs}$  laserom.*

Zaključak:

- Hemija u laserima.

**HVALA NA PAŽNJI.**

## - NOBELOVCI – lašeri/primene:

- A. Prokhorov, N. Basov, C. Townes, (F. 1964.)
- A. Kastler, (F. 1966.)
- D. Gabor, (F. 1971.)
- A. Shawlow, N. Bloemberger, K. Siegbahn, (F. 1981.)
- J. Polanyi, Y. Lee, D. Herschbach, (H. 1986.)
- S. Chu, C. Tannoudji, W. Philips, (F. 1997).
- A. Zewail, (H. 1999.)
- A. Cornell, C. Wieman, K. Wolfgang, (F. 2001.)
- T. Hansch, J. Hall, J. Galuber, (F. 2005.)

